

**МЕХАНИКА  
ТВЕРДОГО ТЕЛА  
№ 1 · 1976**

УДК 539.376+532.135

**РАСПРОСТРАНЕНИЕ СИНУСОИДАЛЬНОГО ВОЗБУЖДЕНИЯ  
В НЕЛИНЕЙНОЙ НАСЛЕДСТВЕННО-УПРУГОЙ СРЕДЕ**

**Ю. И. КАРКОВСКИЙ, С. И. МЕШКОВ**

(*Куйбышев*)

Рассматривается одномерная задача о распространении синусоидального возбуждения в наследственно-упругой среде, для которой связь между напряжением  $\sigma$  и деформацией  $\varepsilon$  определяется бесконечным рядом операторов [1, 2] вольтерровского типа

$$\sigma(t) = \sum_{n=1}^{\infty} \int_0^{\infty} \int G_n(t_1, \dots, t_n) \prod_{i=1}^n \varepsilon(t-t_i) dt_i \quad (0.1)$$

Здесь весовые функции  $G_n(t_1, \dots, t_n)$  описывают наследственные эффекты  $n$ -го порядка.

Задача решается асимптотическим методом, когда за нулевое приближение принимается линейное упругое решение, а все эффекты наследственности и нелинейности учитываются как возмущение [3-5].

1. Уравнение движения сплошной среды плотности  $\rho$  в одномерном случае записывается в виде

$$\rho \frac{\partial^2 \varepsilon}{\partial t^2} = \frac{\partial^2 \sigma}{\partial x^2} \quad (1.1)$$

Для решения задачи вводится фиктивный малый параметр  $\mu$ , и функционал напряжения в зависимости от деформации записывается следующим образом [3, 5]:

$$\sigma(\varepsilon, t, \mu) = E_{\infty} F(v_{\varepsilon}, \varepsilon, t, \mu), \quad v_{\varepsilon} = (E_{\infty} - E_0) E_{\infty}^{-1} \quad (1.2)$$

В частности, определяющему уравнению (0.1) соответствует представление [3]:

$$F(v_{\varepsilon}, \varepsilon, t, \mu) = \varepsilon(t) - \mu v_{\varepsilon} \int_0^{\infty} R(t') \varepsilon(t-t') dt' + \\ + \mu E_{\infty}^{-1} \sum_{n=2}^{\infty} \int_0^{\infty} \int G_n(t_1, \dots, t_n) \prod_{i=1}^n \varepsilon(t-t_i) dt_i \quad (1.3)$$

Здесь  $R(t)$  — ядро релаксации линейной теории,  $E_{\infty}$  и  $E_0$  — нерелаксированное и релаксированное значение модуля упругости соответственно. При этом справедливы предельные соотношения

$$F(v_{\varepsilon}, \varepsilon, t, \mu) \rightarrow \varepsilon, \quad \mu \rightarrow 0, \quad \sigma(\varepsilon, t, 1) = \sigma(\varepsilon, t) \quad (1.4)$$

Границное условие  $\sigma|_{x=0} = \sigma_0 \cos \omega t$  позволяет искать решение уравнения (1.1) в виде гармонического приближения [3, 5]:

$$\varepsilon = A(x) \cos \psi(x, t), \quad \psi(x, t) = \omega(t-x/v) + \varphi(x), \quad v^2 = E_{\infty} \rho^{-1} \quad (1.5)$$

Медленно меняющиеся функции расстояния  $A(x)$  и  $\varphi(x)$  определяются из уравнений

$$\frac{\omega}{v}[C(A)-A]=2C(A)\frac{d\varphi}{dx}, \quad \frac{\omega}{v}S(A)=2\frac{dC}{dx} \quad (1.6)$$

$$C(A)-iS(A)=\frac{1}{\pi}\int_0^{2\pi} F(A \cos \psi, t, \mu) \exp(-i\psi) d\psi \quad (1.7)$$

С учетом соотношений (1.4) из уравнений (1.6) получается

$$x=2\frac{v}{\omega}\int_{A_0}^A \frac{dA}{S(A)} \quad (1.8)$$

$$\varphi=\varphi_0+\int_{A_0}^A \frac{C(A)-A}{S(A)} \frac{dA}{A}=\varphi_0-\frac{1}{2}\left(\frac{\omega}{v}\right)x+\int_{A_0}^A \frac{C(A)}{S(A)} dA \quad (1.9)$$

В окончательных формулах параметр  $\mu$  следует положить равным единице. Величины  $A_0$  и  $\varphi_0$  представляют собой значения амплитуды и фазы при  $x=0$ .

Из (1.5) получается

$$e(t-t_k)=\frac{A}{2}\left(\frac{z}{z_k}+\frac{z_k}{z}\right), \quad z=\exp(i\psi), \quad z_k=\exp(i\omega t_k) \quad (1.10)$$

В силу симметрии функций  $G_n(t_1, \dots, t_n)$  относительно перестановок аргументов можно записать

$$\begin{aligned} & \int_0^\infty \int G_n(t_1, \dots, t_n) \prod_{k=1}^n e(t-t_k) dt_k = \\ & = \left(\frac{A}{2}\right)^n \sum_{k=0}^n \binom{n}{k} \exp[i(n-2k)\psi] G(n-k, k; \omega) \end{aligned} \quad (1.11)$$

Здесь  $\binom{n}{k}$  — биномиальные коэффициенты

$$G(n-k, k; \omega)=\int_0^\infty \int G_n(t_1, \dots, t_n) \exp\left[i\omega\left(\sum_{l=1}^k t_l - \sum_{l=k+1}^n t_l\right)\right] dt_1 \dots dt_n \quad (1.12)$$

Подстановка (1.11) в (1.7) для  $\mu=1$  приводит к выражению

$$C(A)-iS(A)=A \sum_{m=0}^{\infty} \binom{2m+1}{m} E_\infty^{-t} G(m+1, m; \omega) \frac{A^{2m}}{2^{2m}} \quad (1.13)$$

$$G(1, 0; \omega)=G(\omega)=E_\infty[1-v_e R(\omega)] \quad (1.14)$$

$$R(\omega)=R(t) \exp(-i\omega t) dt=R'(\omega)-iR''(\omega)$$

Подстановка выражений для  $C(A)$  и  $S(A)$ , вычисленных по формуле (1.13) в (1.8) и (1.9), приводит к уравнениям для амплитуды и фазы. Из формулы (1.8) амплитуда определяется как функция расстояния  $x$ . Зависимость фазы  $\varphi$  от расстояния  $x$  получается после подстановки найденного выражения  $A(x)$  в уравнение (1.9).

Для весовых функций вида

$$G_n(t_1, \dots, t_n) = b_n \prod_{i=1}^n G(t_i), \quad b_1 = 1, \quad G(t) = E_\infty [\delta(t) - v_e R(t)] \quad (1.45)$$

где  $\delta(t)$  — делта-функция Дирака, согласно определению (1.12) можно записать

$$G(m+1, m; \omega) = G(\omega) |G(\omega)|^{2m} \quad (1.46)$$

Формулы (1.14) и (1.16) позволяют переписать выражение (1.43) в виде

$$C(A) - iS(A) = A [1 - v_e R(\omega)] \Phi(a), \quad a = A^2 |G(\omega)|^2 \quad (1.47)$$

$$\Phi(a) = \sum_{m=0}^{\infty} \frac{b_{2m+1}}{2^{2m}} \binom{2m+1}{m} a^m$$

Учитывая выражения (1.17) и (1.14), из (1.9) можно получить

$$\begin{aligned} \varphi &= \varphi_0 - \frac{1}{2} \left( \frac{\omega}{v} \right) x - \frac{1 - v_e R'(\omega)}{v_e R''(\omega)} \ln \frac{A}{A_0} = \\ &= \varphi_0 - \frac{1}{2} \left( \frac{\omega}{v} \right) \left[ x + \frac{1 - v_e R'(\omega)}{\beta} \ln \frac{A^2}{A_0^2} \right], \quad \beta = \frac{v_e \omega}{v} R''(\omega) \end{aligned} \quad (1.48)$$

Подстановка (1.17) в (1.8) дает

$$-\beta x = \int_{a_0}^a \frac{d\xi}{\xi \Phi(\xi)}, \quad a_0 = A_0^2 |G(\omega)|^2 \quad (1.49)$$

Так как амплитуда распространяющейся волны является однозначной монотонно убывающей функцией расстояния, из последней формулы следует, что  $\Phi(\xi) > 0$  при всех допустимых значениях  $\xi$ , определяемых областью сходимости ряда (1.17), т. е. коэффициентами  $b_n$  в формуле (1.15). Поэтому зависимость расстояния от амплитуды  $x(a, a_0)$ , определяемая выражением (1.19), имеет обратную функцию  $a(x, a_0)$ . Полагая

$$f(a) = ay(a), \quad \ln y(a) = - \int_{a_0}^a \frac{\Phi(\xi) - 1}{\xi \Phi(\xi)} d\xi + \text{const} \quad (1.20)$$

формулу (1.19) можно представить в виде

$$f(a) = f(a_0) \exp(-\beta x) \quad (1.21)$$

Так как  $f(a)$  является монотонно возрастающей функцией, то можно записать

$$A = A(\omega) = |G(\omega)|^{-1} \{f^{-1}[f(A_0^2 |G(\omega)|^2) \exp(-\beta x)]\}^{1/2}$$

где  $f^{-1}$  — обратная функция  $f$ .

2. В качестве примера можно рассмотреть дробно-экспоненциальное [6] ядро релаксации, для которого

$$R(\omega) = [1 + (i\omega\tau_e)^\gamma]^{-1} \quad (0 < \gamma \leq 1) \quad (2.1)$$

Тогда

$$\begin{aligned} R'(\omega) &= \frac{\kappa^{-\gamma} + c}{\kappa^\gamma + \kappa^{-\gamma} + 2c}, & R''(\omega) &= \frac{s}{\kappa^\gamma + \kappa^{-\gamma} + 2c} \\ \kappa &= \omega\tau_e, & c &= \cos^{1/2}\pi\gamma, & s &= \sin^{1/2}\pi\gamma \end{aligned} \quad (2.2)$$

Отсюда получается

$$\beta = \frac{v_e}{v} \frac{\omega s}{\kappa^\gamma + \kappa^{-\gamma} + 2c}, \quad a = A^2 E_\infty^2 \left[ 1 - v_e \frac{(2-v_e)\kappa^{-\gamma} + 2c}{\kappa^\gamma + \kappa^{-\gamma} + 2c} \right] \quad (2.3)$$

Интересно проследить поведение амплитуды  $A$  и фазы  $\phi$  при больших частотах, так как в линейном случае при  $\omega \rightarrow \infty$  коэффициент поглощения  $\beta$  ведет себя принципиально различным образом для  $\gamma=1$  и  $\gamma \neq 1$ , а именно, в первом случае  $\beta$  стремится к постоянному значению, а во втором — неограниченно возрастает [7].

В силу равенства  $f^{-1}(0)=0$  и соотношения

$$\lim_{\omega \rightarrow \infty} a = (\lim_{\omega \rightarrow \infty} A^2) E_\infty^2 = A^2(\infty) E_\infty^2 \quad (2.4)$$

из формул (1.21) и (2.3) для любых  $x>0$  следует, что при неограниченном возрастании частоты амплитуда стремится к следующим предельным значениям:

$$A(\infty) = 0, \quad \gamma \neq 1, \quad A(\infty) = E_\infty^{-1} \left\{ f^{-1} \left[ f(A_0^2 E_\infty^2) \exp \left( -\frac{xv_e}{v\tau_e} \right) \right] \right\}^{\frac{1}{2}}, \quad \gamma = 1 \quad (2.5)$$

Таким образом, как и в линейном случае, амплитуда  $A$  при  $\gamma=1$  с увеличением частоты стремится к постоянному значению, а при  $\gamma \neq 1$  асимптотически приближается к нулю. Из формулы (1.18), переписанной с учетом (1.20) в виде

$$\varphi = \varphi_0 - \frac{1}{2} \left( \frac{\omega}{v} \right) \left[ v_e R'(\omega) x + \frac{1 - v_e R'(\omega)}{\beta} \ln \frac{y(a_0)}{y(a)} \right]$$

следует, что при  $\gamma=1$  асимптотой графика функции  $\varphi(\omega)$  является прямая

$$\varphi = \varphi_0 + \frac{1}{2v_e} \ln \frac{y(A^2(\infty) E_\infty^2)}{y(A_0^2 E_\infty^2)} \omega \tau_e$$

При  $\gamma \neq 1$  асимптотическое поведение фазы определяется выражениями

$$\varphi - \varphi_0 \approx -\frac{xv_e c}{2v\tau_e} (\omega\tau_e)^{1-\gamma} \quad \left( 0 < \gamma < \frac{1}{2} \right)$$

$$\varphi - \varphi_0 \approx \frac{1}{2v_e} \ln \frac{y(0)}{y(A_0^2 E_\infty^2)} (\omega\tau_e)^\gamma \quad \left( \frac{1}{2} < \gamma < 1 \right)$$

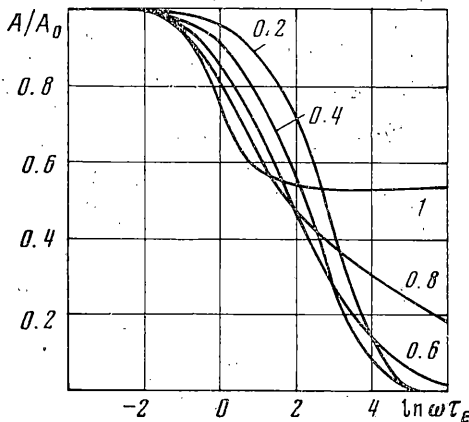
$$\varphi - \varphi_0 \approx \left[ -\frac{xv_e}{2v\tau_e} + \frac{1}{v_e} \ln \frac{y(0)}{y(A_0^2 E_\infty^2)} \right] \sqrt{\frac{\omega\tau_e}{2}} \quad \left( \gamma = \frac{1}{2} \right)$$

Из уравнения (1.21) можно непосредственно проследить поведение амплитуды при больших и малых значениях  $x$  для каждой фиксированной

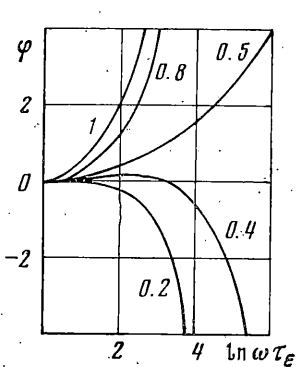
частоты. С учетом (1.17) и (1.20) имеют место выражения

$$\begin{aligned}\ln(A/A_0) &\approx -\frac{1}{2}\beta x + \frac{1}{2}\ln y(A_0^2|G(\omega)|^2) \quad (x \gg 1) \\ \ln(A/A_0) &\approx -\frac{1}{2}\beta x \Phi(A_0^2|G(\omega)|^2) \quad (x \ll 1)\end{aligned}$$

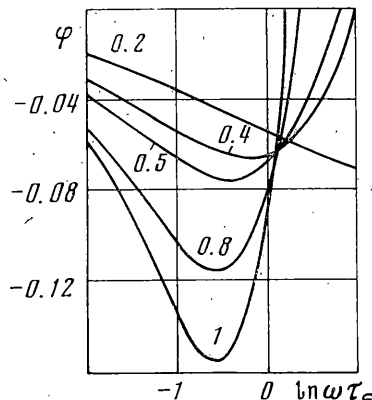
на основании которых можно также записать соответствующие асимптотические формулы для фазы.



Фиг. 1



Фиг. 2



Фиг. 3

В случае  $b_n=1$ ,  $n=1, 2, \dots$   $\Phi(a)$  можно выразить через гипергеометрическую функцию [8]:

$$\Phi(\xi) = F(1, \frac{3}{2}; 2; \xi) = 2(1 - \xi + \sqrt{1-\xi})^{-1} \quad (2.6)$$

Из формулы (1.20) следует выражение

$$y(a) = (1 + \sqrt{1-a})^{-1} \exp[\frac{1}{2}(1 + \sqrt{1-a})^2] \quad (2.7)$$

при помощи которого уравнение (1.21) удобно переписать в виде

$$\frac{a}{A_0} = \left(\frac{A}{A_0}\right)^2 = \frac{y(a_0)}{y(a)} \exp(-\beta x) \quad (2.8)$$

Отсюда методом итерации [9] определяются значения  $(A/A_0)^2$ .

Если в разложении гипергеометрической функции (2.6) в ряд по степеням  $\xi$  удержать два члена  $\Phi(\xi)=F(1, \frac{3}{2}; 2; \xi) \approx 1 + \frac{3}{4}\xi$ , то из формул (1.20) и (1.21) следуют выражения амплитуды и фазы, полученные в работе [3].

На фиг. 1 приведена частотная зависимость безразмерной амплитуды  $A/A_0$  в полулогарифмическом масштабе при различных значениях параметра  $\gamma$ . Квадрат амплитуды  $(A/A_0)^2$  вычислялся методом итерации по формуле (2.8) при следующих численных значениях:  $(A_0 E_\infty)^2 = \frac{1}{2} = v_e$ ,  $x/v\tau_e = 2$ .

Хорошо видно различие в асимптотическом поведении амплитуды при  $\gamma=1$  и  $\gamma \neq 1$ .

На фиг. 2, где у кривых также указаны значения  $\gamma$ , представлена зависимость фазы от  $\ln \omega t_e$  при  $\varphi_0 = 0$ .

На фиг. 3 в увеличенном масштабе показан начальный участок зависимостей, приведенных на фиг. 2.

Ввиду сложности выражения (2.7), используемого в уравнении (2.8), аналитическое сравнение результатов работы [3] с полученными в данной работе представляется затруднительным. Однако численные расчеты по формулам, приведенным в работе [3] для принятых здесь значений параметров, приводят к результатам, практически совпадающим с результатами данной работы.

Поступила 23 I 1975

#### ЛИТЕРАТУРА

1. Volterra V. Theory of functionals and of integral and integrodifferential equations. N. Y., 1959.
2. Nakada O. Theory of nonlinear responses. J. Phys. Soc. Japan, 1960, vol. 2, No. 15, p. 2280—2288.
3. Астафьев В. И., Мешков С. И. Вынужденные колебания полубесконечного стержня из нелинейного наследственно-упругого материала. Изв. АН СССР. МТТ, 1970, № 4.
4. Карнаухов В. Г. Приближенный метод решения задач о распространении волн в вязкоупругих материалах. Прикл. механ., 1972, т. 8, вып. 9.
5. Caughey T. K. Forced-oscillations of semi-infinite rod exhibiting weak bilinear hysteresis. Trans. ASME. Ser. E. J. Appl. Mech., 1960, vol. 27, No. 4, p. 644—648.
6. Работнов Ю. Н. Равновесие упругой среды с последействием. ПММ, 1948, т. 12, вып. 1.
7. Мешков С. И., Россинин Ю. А. О распространении звуковых волн в наследственно-упругой среде. ПМТФ, 1968, № 5.
8. Бейтмен Г., Эрдейи А. Высшие трансцендентные функции, т. 1. М., «Наука», 1973.
9. Демидович Б. П., Марон И. А. Основы вычислительной математики. М., «Наука», 1970.

Замечание к статье Ю. М. Блитштейна, С. И. Мешкова  
«Ударные волны в нелинейной упругой и вязкоупругой среде»

(Известия АН СССР. Механика твердого тела, 1975, № 4)

1. Сдвиговые волны, рассмотренные в работе, имеют место только при условии

$$2(f_1^v + f_2^v) + f_3^v(1 + 2I_1^v) = 0$$

Поэтому все вычисления для сдвиговых волн следует считать выполненными при этом условии.

2. Полученные в статье соотношения, связывающие интенсивности сильных разрывов и волны ускорений, позволяют по заданной интенсивности сильного разрыва определить интенсивность волны ускорений, а не наоборот.

Таким образом, определение интенсивности сильного разрыва в общем случае возможно только из решения соответствующих краевых задач.